

- CCP DEUG 2003 : Physique 2 -

- **ENONCE :** « Electrocinétique - Electromagnétisme »

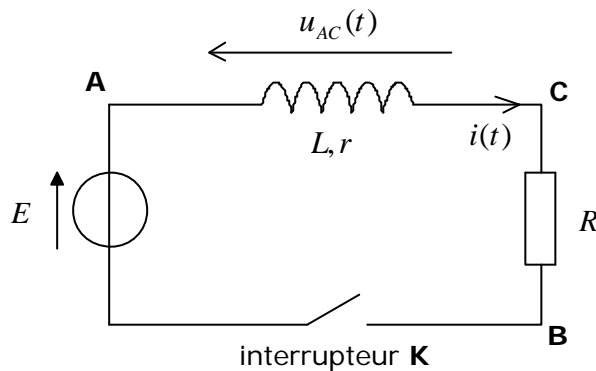
Ce problème, composé de deux parties, permet d'envisager différents aspects de l'induction électromagnétique.

- Partie A : electrocinétique -

Les paragraphes I et II exploitent la présence d'une bobine d'induction dans un circuit électrique simple.

I. Régime transitoire dans une bobine

Une source idéale de tension, de f.e.m. E , peut alimenter un dipôle electrocinétique **AB** constitué, en série, d'une bobine d'induction **AC** (inductance L et résistance constante r) et d'un résistor **CB** de résistance constante R (figure 1).



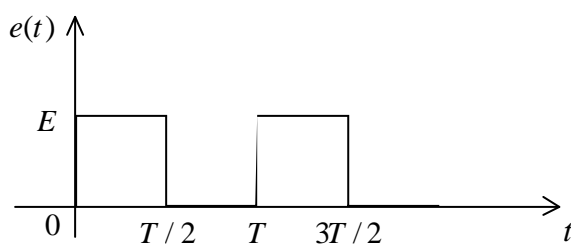
- figure 1 -

Au temps $t = 0$, pris comme instant initial, l'interrupteur **K** est abaissé et le circuit est fermé.

Soit $u_{AC}(t)$, la tension aux bornes de la bobine et $i(t)$, l'intensité dans le circuit.

On pose $t = L/(R+r)$.

- 1.1) Rappeler la relation entre la tension $u_{AC}(t)$ et l'intensité $i(t)$.
- 1.2) Ecrire, pour $t \geq 0$, l'équation différentielle linéaire du 1er ordre dont $i(t)$ est solution (équation de maille).
- 1.3) Déterminer, par intégration de l'équation précédente, l'expression de $i(t)$.
- 1.4) En déduire l'expression de la tension $u_{AC}(t)$.
- 1.5) Tracer l'allure des courbes représentatives des fonctions $i(t)$ et $u_{AC}(t)$.
- 1.6) Que deviennent ces deux courbes, si le générateur délivre une tension « crêteau » $e(t)$ de période T (avec $t \ll T/2$) ? La tension est définie de la façon suivante (figure 2) :

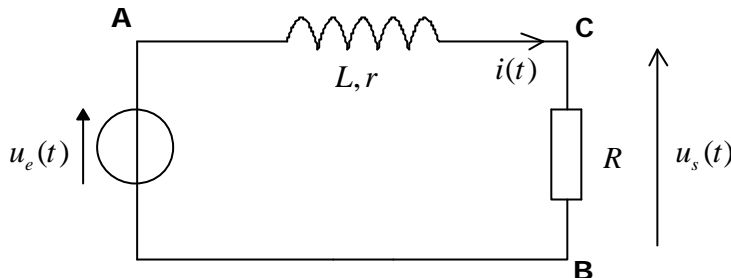


$$\begin{aligned} 0 \leq t \leq T/2 : \quad e(t) &= E \\ T/2 \leq t \leq T : \quad e(t) &= 0 \end{aligned}$$

- figure 2 -

II. Circuit linéaire en régime sinusoïdal

La source idéale de tension précédente, de f.e.m E , est remplacée par un générateur de tension alternative sinusoïdale $u_e(t) = U_m \cos(\omega t)$ (figure 3) :



- figure 3 -

Soit $u_s(t)$ la tension de sortie aux bornes du résistor.

On pose $w_0 = (R+r)/L$ et $K = R/(R+r)$.

2.1) Soient \underline{u}_s et \underline{u}_e les amplitudes complexes respectives des tensions de sortie et d'entrée.

2.1.1. Écrire l'impédance complexe $Z_{AB}(jw)$ du dipôle **AB**. On rappelle l'égalité $j^2 = -1$.

2.1.2. Exprimer, en fonction de K, w et w_0 , la fonction de transfert (ou transmittance) définie par le rapport complexe $H(jw) = \underline{u}_s / \underline{u}_e$.

2.2) La fonction de transfert est caractérisée par son gain (ou module) $G(w)$ et par son argument $j(w)$ (ou déphasage entre les tensions \underline{u}_s et \underline{u}_e).

2.2.1. Déterminer, en fonction de K, w et w_0 , les fonctions $G(w)$ et $j(w)$.

2.2.2. Représenter, en fonction de $\log w$, l'allure de la courbe de gain $G_{dB} = 20 \log G(w)$.

2.2.3. Même question pour la courbe de phase $j(w)$.

2.3) Quelle est la caractéristique principale de ce montage ?

- Partie B :Électromagnétisme -

Les paragraphes I et II proposent l'étude de quelques phénomènes dissipatifs liés à l'induction.

Dans un référentiel **R**, en un point M d'un circuit conducteur se déplaçant à la vitesse $\vec{v}_e(M)_{/R}$ dans un champ magnétique $\vec{B}(M)$, il apparaît le champ électromoteur induit :

$$\vec{E}_m(M)_{/R} = -\frac{\partial \vec{A}(M, t)}{\partial t} + \vec{v}_e(M)_{/R} \wedge \vec{B}(M) \quad (1)$$

$\vec{A}(M, t)$ est le potentiel vecteur lié au champ $\vec{B}(M)$ par les relations $\vec{B}(M) = \vec{\text{rot}} \vec{A}(M, t)$ et $\text{div} \vec{A} = 0$. Ces deux relations locales permettent l'établissement de la relation intégrale, valable pour toute surface **S**, non fermée, s'appuyant sur le contour **C** :

$$\oint_C \vec{A} \cdot d\vec{l} = \iint_S \vec{B} \cdot d\vec{S}$$

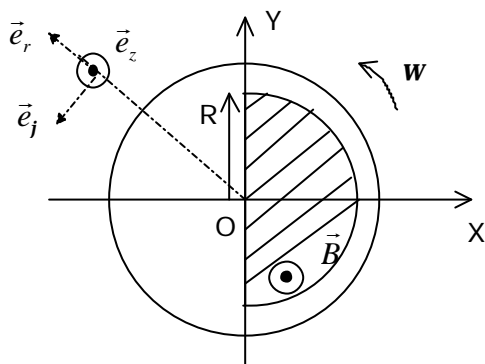
L'espace est rapporté, en coordonnées cartésiennes, à un repère orthonormé direct (Ox, Oy, Oz) de base $(\vec{e}_x, \vec{e}_y, \vec{e}_z)$. On pourra utiliser, le cas échéant, le système de coordonnées cylindriques, constitué du triplet $(\vec{e}_r, \vec{e}_\theta, \vec{e}_z)$.

I. Disque métallique en rotation dans un champ magnétique

Un disque métallique parfaitement conducteur (cuivre), de centre O, d'épaisseur h et de conductivité σ , est situé dans le plan xOy .

Ce disque est entraîné, autour de son axe Oz , par un moteur, dans un mouvement de rotation de vitesse angulaire ω .

Un dispositif, non précisé ici, engendre un champ magnétique $\vec{B} = B_0 \vec{e}_z$, uniforme dans toute l'épaisseur du disque, à l'intérieur d'un volume demi-cylindrique de rayon R, contenant tous les points $M(x,y,z)$ du disque tels que $0 \leq r \leq R$ et $x \geq 0$, avec r distance du point M à l'axe Oz (figure 4).



Remarque : la zone hachurée correspond à la région de champ \vec{B}

- figure 4 -

1.1) \vec{B} est un vecteur uniforme et constant. Montrer que l'expression vectorielle (1) définissant le champ électromoteur induit $\vec{E}_m(M)_{/R}$ se simplifie.

1.2) Soit un point M du disque, situé à la distance r de l'axe Oz .

1.2.1. Écrire, en fonction de r, ω et \vec{e}_j , l'expression vectorielle de la vitesse $\vec{v}_e(M)$ du point M.

1.2.2. En déduire l'expression vectorielle du champ électromoteur induit $\vec{E}_m(M)_{/R}$ lorsque le point M se trouve dans le champ magnétique.

1.2.3. Recopier, approximativement, la figure 4 et représenter le vecteur $\vec{E}_m(M)_{/R}$ en un point choisi dans la région où règne le champ magnétique.

1.2.4. Le conducteur obéit à la loi d'Ohm locale. En déduire l'expression vectorielle du vecteur densité de courant induit $\vec{j}_i(M)$.

1.2.5. Le champ électromoteur $\vec{E}_m(M)_{/R}$ agit-il dans un circuit ouvert ou dans un circuit fermé ?

1.2.6. Compléter, en fonction de la réponse donnée à la question précédente, le dessin du paragraphe 1.2.3. :

- dans l'hypothèse d'un circuit ouvert, indiquer les zones d'accumulation et de défaut d'électrons
- dans l'hypothèse d'un circuit fermé, proposer le tracé d'un circuit que peuvent emprunter les charges mises en mouvement.

1.3) Dans la partie du disque soumise au champ \vec{B} , le courant induit dissipe une puissance volumique donnée par l'expression :

$$\frac{dP}{dt} = \sigma (\vec{E}_m)^2 \quad \text{avec } dt = \text{volume élémentaire de conducteur}$$

1.3.1. Sous quelle forme cette puissance électrique est-elle dissipée (ou dégradée) ?

1.3.2. Exprimer, en fonction de $\mathbf{g}, r, \mathbf{w}$ et B_0 , la puissance volumique $\frac{dP}{dt}$ mise en jeu.

1.3.3. Déterminer la puissance totale P_I dissipée dans le volume de conducteur, soumis au champ magnétique.

1.3.4. Quel pourrait être l'effet de ce phénomène dissipatif sur la vitesse de rotation du moteur ?

1.3.5. Application pratique

Citer une application de ce dispositif électromagnétique.

1.3.6. Application numérique

$$\mathbf{g} = 5,8 \times 10^7 \text{ S m}^{-1}; \mathbf{w} = 1,0 \times 10^3 \text{ rad.s}^{-1}; h = 5 \text{ mm}; R = 10 \text{ cm}; B_0 = 1,0 \times 10^{-2} \text{ T}$$

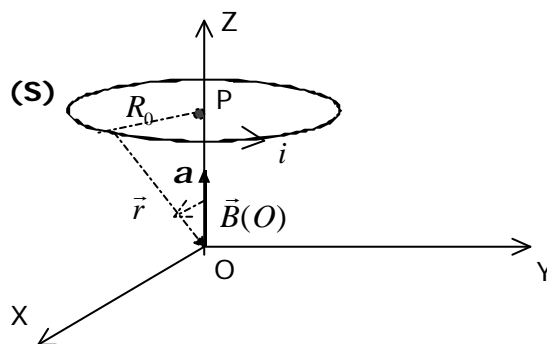
Calculer la puissance P_I .

II. Matériaux conducteurs soumis à un champ magnétique variable

2.1) Une spire **S**, formée d'un fil conducteur de diamètre négligeable, est placée dans un plan parallèle au plan xOy . De rayon R_0 et de centre $P(0,0,z)$ choisi sur l'axe Oz , la spire est parcourue par un courant i . Le champ magnétique, créé au point O , est donné par la formule (2) (qui n'est pas à établir) :

$$\vec{B}(O) = B\vec{e}_z = \frac{\mu_0 i}{2R_0} \sin^3(\alpha)\vec{e}_z \quad (2)$$

α est l'angle $(\vec{e}_z, -\vec{r})$; r est la distance entre les points de **S** et l'origine O (figure 5) :



- Figure 5 -

Utiliser le résultat (2) pour déterminer le champ magnétique créé en O par un solénoïde infiniment long, d'axe Oz , et constitué par un empilement de spires jointives (n spires identiques à **S** par unité de longueur) et parcourues par le courant i .

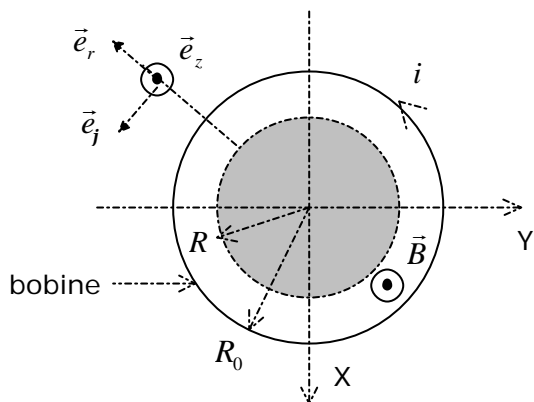
2.2) Les spires du solénoïde sont parcourues par un courant variable. On admet qu'à l'intérieur de ce bobinage, le champ magnétique créé est uniforme dans l'espace : $\vec{B} = B\vec{e}_z$, mais B est variable dans le temps selon la loi $B(t) = B_m \sin(\omega t)$.

Des considérations de symétrie permettent de montrer que le potentiel vecteur $\vec{A}(M,t)$, associé au champ magnétique, en un point M situé à la distance \mathbf{r} de l'axe Oz (avec $\mathbf{r} \prec R_0$), est tangent au cercle **C** de rayon \mathbf{r} et d'axe Oz . $\vec{A}(M,t)$ s'écrit alors sous la forme :

$$\vec{A}(M,t) = A(\mathbf{r},t)\vec{e}_j$$

Exprimer, en fonction de $\mathbf{r}, B_m, \mathbf{w}$ et t , le potentiel vecteur $A(\mathbf{r}, t)$.

- 2.3)** Un cylindre métallique (cuivre) de rayon R (avec $R < R_0$), de hauteur H et de conductivité σ , est placé à l'intérieur du solénoïde. Le barreau et le bobinage sont coaxiaux (axe Oz) et immobiles (figure 6) :



Remarque : la zone en gris correspond au barreau métallique .

- figure 6 -

- 2.3.1. Montrer qu'à l'intérieur du barreau, l'expression (1) du champ électromoteur se simplifie.

- 2.3.2. Exprimer, en fonction de $\mathbf{r}, B_m, \mathbf{w}$ et t , la norme E_m du champ électromoteur.

- 2.3.3. Recopier, approximativement, la figure 6 et présenter le tracé de quelques lignes de courants induits.

- 2.3.4. Ce type de courants porte le nom d'un Physicien. Lequel ?

- 2.4)** Dans le barreau, totalement soumis au champ \vec{B} variable, les courants induits dissipent une puissance volumique instantanée, définie par : $\frac{dP}{dt} = \sigma(E_m)^2$

- 2.4.1. Sous quelle forme cette puissance est-elle dissipée ?

- 2.4.2. Déterminer, en fonction de $\sigma, \mathbf{r}, B_m, \mathbf{w}$ et t , la puissance volumique instantanée dP/dt mise en jeu.

- 2.4.3. En déduire la puissance volumique moyenne dissipée $\langle dP/dt \rangle$.

- 2.4.4. Exprimer, en fonction de $\sigma, H, B_m, \mathbf{w}$ et R , la puissance moyenne totale P_H dégagée dans tout le barreau métallique.

- 2.4.5. Application pratique

Citer une application de ce dispositif électromagnétique.

- 2.4.6. Application numérique

$$\sigma = 5,8 \times 10^7 \text{ S.m}^{-1}; \mathbf{w} = 5,0 \times 10^4 \text{ rad.s}^{-1}; H = 0,20 \text{ m}; R = 5,0 \times 10^{-2} \text{ m}; B_m = 2,0 \times 10^{-4} \text{ T}$$

Calculer la puissance moyenne totale P_H dégagée.

- Fin de l'énoncé -

• **CORRIGE :** « Electrocinétique - Electromagnétisme »

- **Partie A : électrocinétique -**

1.1) Pour les deux dipôles en série, on a :

$$u_{AC}(t) = ri(t) + L \frac{di}{dt} \quad (1)$$

$$1.2) \quad t \geq 0 : \quad E = (R+r)i(t) + L \frac{di}{dt}$$

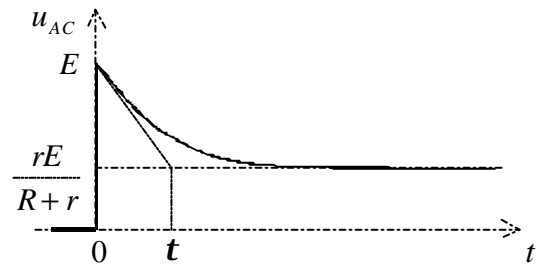
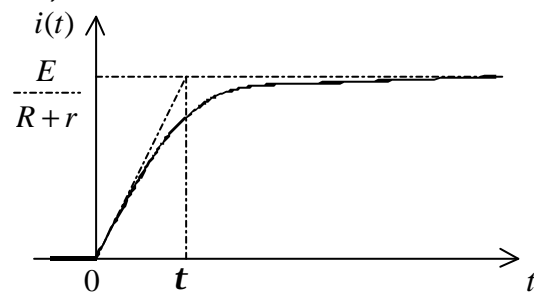
$$1.3) \quad \text{Il vient : } i(t) = A \exp(-t/\tau) + \frac{E}{R+r} ; \text{ la présence de l'inductance impose la continuité de l'intensité} \Rightarrow i(0^+) = i(0^-) = 0 = A + \frac{E}{R+r} \Rightarrow A = -\frac{E}{R+r} \Rightarrow i(t) = \frac{E}{R+r} [1 - \exp(-t/\tau)]$$

$$1.4) \quad \text{D'après (1), on a : } u_{AC}(t) = \frac{rE}{R+r} [1 - \exp(-t/\tau)] + L \times \frac{E}{R+r} \times \frac{R+r}{L} \exp(-t/\tau) \Rightarrow u_{AC}(t) = \frac{rE}{R+r} + \frac{RE}{R+r} \exp(-t/\tau)$$

* à $t=0$: $u_{AC}(t)=E$; normal, puisque $i(0^+)=0 \Rightarrow$ c'est le dipôle AC qui « encaisse » la tension E .

* $t \rightarrow \infty$: $u_{AC}(t) \rightarrow \frac{rE}{R+r}$; normal, puisque $i(\infty)=cste \Rightarrow \frac{di}{dt}(\infty)=0 \Rightarrow$ on obtient un « diviseur de tension » r en série avec R , ce qui conduit bien à $u_{AC}(\infty)=\frac{rE}{R+r}$.

1.5)



1.6) Remarque préliminaire : $\tau \ll \frac{T}{2} \Rightarrow$ les régimes permanents ont le temps d'être atteints.

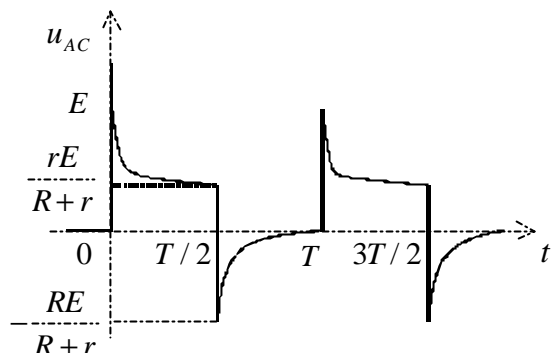
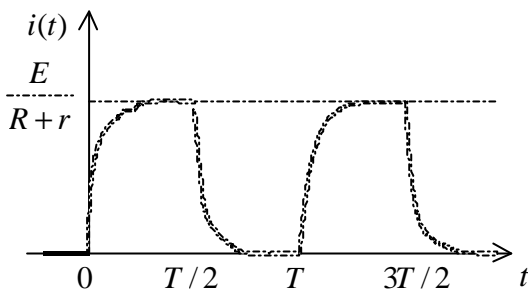
* $0 \leq t \leq \frac{T}{2}$: les solutions sont les mêmes que précédemment.

* $0 \leq t \leq \frac{T}{2} \leq t \leq T$: on a cette fois : $(R+r)i(t) + L \frac{di}{dt} = 0 \Rightarrow i(t') = A \exp(-t'/\tau)$ $t' = t - \frac{T}{2}$

$$\text{Or, par continuité : } i(t'=0^+) = i(t'=0^-) = \frac{E}{R+r} \Rightarrow i(t') = \frac{E}{R+r} \exp(-t'/\tau)$$

$$* \text{ Enfin : } u_{AC}(t') = \frac{rE}{R+r} \exp(-t'/\tau) - L \times \frac{R+r}{L} \times \frac{E}{R+r} \exp(-t'/\tau) \Rightarrow u_{AC}(t') = -\frac{RE}{R+r} \exp(-t'/\tau)$$

On en déduit les courbes suivantes :



2.1.1) De façon évidente : $Z_{AB} = (R+r) + jLw$

2.1.2) La relation du diviseur de tension fournit :

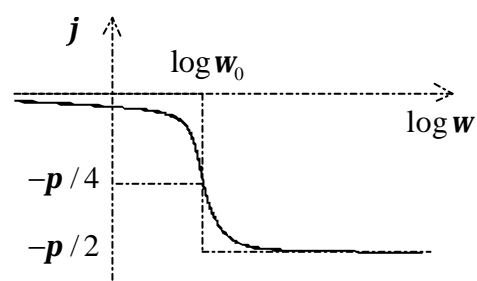
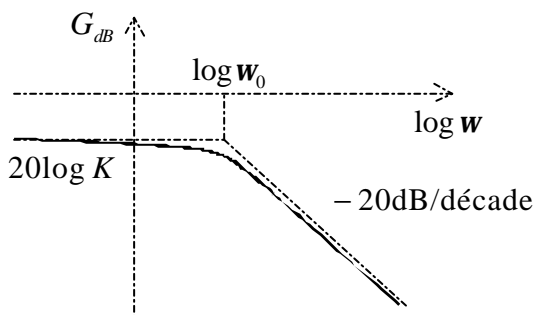
$$H(jw) = \frac{u_s}{u_e} = \frac{R}{R+r+jLw} = \frac{K}{1+j\frac{w}{w_0}}$$

2.2.1)

$$G(w) = \frac{K}{\sqrt{1+\left(\frac{w}{w_0}\right)^2}}$$

$$j(w) = -\text{Arctan}\left(\frac{w}{w_0}\right)$$

2.2.2) et 2.2.3) En remarquant que $K < 1$, on a $20\log(K) < 0$; on obtient alors les courbes « classiques » :



2.3) Il s'agit d'un filtre **passe-bas**, du **1^{er} ordre**, de fréquence de coupure :

$$f_0 = \frac{w_0}{2p}$$

Rq : pour $w \gg w_0$, le montage est également **intégrateur**.

- Partie B : Electromagnétisme -

- 1.1) Puisque le champ \vec{B} est constant, le terme $\frac{\partial \vec{A}(M,t)}{\partial t}$ est nul ; il vient alors :

$$\vec{E}_m(M)_{/R} = \vec{v}_e(M)_{/R} \wedge \vec{B}(M)$$

- 1.2.1) Le point M décrivant un cercle de rayon r , on a :

$$\vec{v}_e(M) = r\vec{w}\vec{e}_j$$

- 1.2.2) On en déduit : $\vec{E}_m(M) = r\vec{w}\vec{e}_j \wedge B_0\vec{e}_z = r\vec{w}B_0\vec{e}_r$

- 1.2.3) Sur la figure, il suffit de tracer un vecteur champ électrique **radial**...

- 1.2.4) Conformément à la loi d'Ohm, on écrit : $\vec{j}_i = \mathbf{g}\vec{E}_m = \mathbf{g}r\vec{w}B_0\vec{e}_r$

- 1.2.5) Ce champ induit peut agir dans les deux cas proposés :

* circuit fermé : dans ce cas, il entraîne l'apparition d'un courant électrique.

* circuit ouvert : dans ce cas, il y a une simple accumulation de charges dans certaines zones du dispositif.

- 1.2.6) * circuit ouvert : le champ électrique étant dirigé de O vers l'extérieur et le mouvement des électrons étant de sens contraire, il y a accumulation d'électrons au point O, et défaut d'électrons à la périphérie du disque de rayon R et de hauteur h.

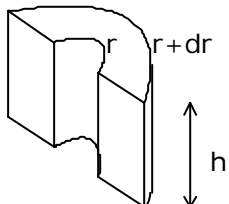
* circuit fermé : la fermeture du circuit électrique peut être assurée par des **contacts glissants** en O et à la périphérie du disque de rayon R.

- 1.3.1) La puissance électrique est transformée en **puissance thermique** (= effet Joule ; = agitation plus grande des ions du réseau cristallin, puis transfert thermique conducto-convection vers le milieu extérieur).

- 1.3.2) On sait que la puissance volumique cédée à la matière par le champ \vec{E}_m s'écrit :

$$\frac{dP}{dt} = \vec{j}_i \cdot \vec{E}_m = \mathbf{g}r^2\vec{w}^2B_0^2$$

- 1.3.3) La grandeur $\frac{dP}{dt}$ ne dépendant que de la variable r , il est judicieux de choisir l'élément suivant comme volume élémentaire d'intégration :



$$dt = \mathbf{p}hrdr \Rightarrow P_I = \int_0^R \mathbf{g}r^2B_0^2\mathbf{p}hr^3dr$$

D'où:

$$P_I = \frac{\mathbf{g}w^2B_0^2\mathbf{p}hR^4}{4}$$

- 1.3.4) Il y a conversion d'énergie cinétique (rotation du moteur) en énergie thermique, donc un phénomène de **freinage**.

- 1.3.5) Il s'agit des « freins électromagnétiques », sur les camions ou les trains par exemple (on peut citer le procédé industriel « **TELMA** »).

- 1.3.6) Le calcul conduit à : $P_I = 2,28 \text{ kW}$

2.1) On peut écrire : $\vec{B}(O) = \int_{\text{solénoïde}} \frac{\mu_0 di}{2R_0} \sin^3 \alpha \vec{e}_z$, où di est le courant parcourant une tranche élémentaire de solénoïde de largeur $dz \Rightarrow di = n i dz$; il vient ensuite :

$$z = R_0 \cotan \alpha \Rightarrow dz = -\frac{R_0}{\sin^2(\alpha)} d\alpha \Rightarrow \vec{B}(O) = \frac{\mu_0 n i}{2} \times \int_{-p}^0 -\sin \alpha d\alpha \vec{e}_z \quad (\text{intégration suivant la variable croissante}) ; \text{ on en déduit finalement :}$$

$$\boxed{\vec{B}(O) = \frac{\mu_0 n i}{2} \times (\cos 0 - \cos p) \vec{e}_z = \mu_0 n i \vec{e}_z}$$

2.2) En appliquant le théorème de Stokes-Ampère, on a :

$$\vec{B} = \overrightarrow{\text{rot}} \vec{A} \Rightarrow \iint_{\text{disque rayon } r} \vec{B} \cdot d\vec{S} = \iint_{\text{disque rayon } r} \overrightarrow{\text{rot}} \vec{A} \cdot d\vec{S} = \oint_C \vec{A} \cdot d\vec{l} = \oint_C A(\mathbf{r}, t) \times dl \Rightarrow$$

$$B_m \sin(\omega t) \times \mathbf{p} r^2 = A(\mathbf{r}, t) \times 2\mathbf{p} r \Rightarrow \boxed{A(\mathbf{r}, t) = \frac{B_m}{2} \sin(\omega t) \times \mathbf{r}}$$

2.3.1) Aucun point du système n'est en mouvement, d'où :

$$\vec{E}_m = -\frac{\partial \vec{A}}{\partial t}$$

2.3.2) Il vient donc :

$$\boxed{E_m = -\frac{\mathbf{g} B_m}{2} \cos(\omega t) \times \mathbf{r}}$$

2.3.3) Les lignes de courants induits sont des **cercles** de centre O et de rayon \mathbf{r} , avec :

$$\boxed{\vec{j} = \mathbf{g} \vec{E}_m = -\frac{\mathbf{g} \omega B_m}{2} \cos(\omega t) \times \mathbf{r} \vec{e}_j}$$

2.3.4) Ce sont les courants de **Foucault** (Léon Foucault, 1819-1868).

2.4.1) Comme dans la partie précédente, la puissance dissipée par les courants induits l'est sous forme **thermique**.

$$2.4.2) \text{ La puissance volumique dissipée s'écrit encore: } \boxed{\frac{dP}{dt} = \vec{j} \cdot \vec{E}_m = \frac{\mathbf{g} \omega^2 B_m^2}{4} \cos^2(\omega t) \times \mathbf{r}^2}$$

2.4.3) Sachant que la valeur moyenne d'un « \cos^2 » vaut $1/2$, il vient :

$$\boxed{\left\langle \frac{dP}{dt} \right\rangle = \frac{\mathbf{g} \omega^2 B_m^2 \mathbf{r}^2}{8}}$$

2.4.4) L'élément d'intégration est un « tube » d'épaisseur dr et de longueur H (volume compris entre deux cylindres concentriques de longueur H et de rayons respectifs \mathbf{r} et $\mathbf{r} + d\mathbf{r}$) ; on a donc :

$$d\mathbf{t} = 2\mathbf{p} H \mathbf{r} dr \Rightarrow P_H = \int_0^R \frac{\mathbf{g} \omega^2 B_m^2 \mathbf{p} H}{4} \times \mathbf{r}^3 dr \Rightarrow \boxed{P_H = \frac{\mathbf{g} \omega^2 B_m^2 \mathbf{p} R^4 H}{16}}$$

Rq : on peut remarquer que la dépendance de P_H vis-à-vis des différentes variables ($\mathbf{w}, B_m, R ..$) est la même que pour P_I .

2.4.5) Il s'agit du chauffage par **induction** (industriel ou électroménager).

2.4.6) L'application numérique conduit à : $\boxed{P_H = 1,42 \text{ kW}}$